

## تحلیل و پیش‌بینی سناریویی اثرات تغییرات آب‌وهوا در آلودگی هوای کلان‌شهر تهران

نبی‌الله رمضانی - دانشجوی دکتری آب‌وهواشناسی، دانشگاه آزاد واحد علوم و تحقیقات، تهران، ایران

بهلول علیچانی<sup>۱</sup> - استاد، گروه جغرافیا، دانشگاه خوارزمی، تهران، ایران

رضا بربنا - دانشیار، گروه جغرافیا، واحد علوم و تحقیقات، دانشگاه آزاد اسلامی، تهران، ایران

تاریخ دریافت: ۱۳۹۷/۱۱/۱۰ تاریخ تصویب: ۱۳۹۷/۵/۱۱

### چکیده

برای ارزیابی تغییرات آینده آب‌وهوا کلان‌شهر تهران و روابط آن با کیفیت هوای تهران از روش پیش‌بینی سناریویی استفاده شد. در این روش ابتدا با استفاده از مدل SDSM و داده‌های روزانه (دما و بارش) ایستگاه‌های سینوپتیک مستقر در کلان‌شهر تهران که از دوره آماری بیشتری برخوردار بودند به پیش‌بینی سناریویی ایستگاه‌ها تا سال ۲۰۴۷ پرداخته شد. سپس با استفاده از میانگین روزانه داده‌های هواشناسی مشاهده شده و پیش‌بینی شده) ایستگاه‌های مورد مطالعه و میانگین روزانه داده‌های آلاینده شهر تهران به بررسی همبستگی و روابط رگرسیونی داده‌های میانگین مشاهده شده هواشناسی و آلودگی هوای پرداخته و با توجه به روابط رگرسیونی و دسترسی به داده‌های سناریویی هواشناسی به پیش‌بینی سناریویی و وضعیت آلودگی هوای سال‌های آینده پرداخته شد. بررسی سناریویی شاخص‌های آلودگی هوای کلان‌شهر تهران در ارتباط با شرایط آب‌وهوا نشان داده که در میان شاخص‌های آلودگی هوای شاخص‌های  $O_3$ ،  $CO_2$  و  $PM_{10}$  با عناصر دمایی در ارتباط بوده و این شاخص‌ها به ویژه دی اکسید کربن در ارتباط با شرایط دمایی روند افزایشی یا ثابتی را تا سی سال آینده (۲۰۴۷) تجربه خواهند کرد.

**کلیدواژه‌ها:** تغییر آب‌وهوا، آلودگی هوای پیش‌بینی سناریویی، روش SDSM، تهران.

## ۱- مقدمه

تغییر آب و هوای یک پدیده پیچیده اتمسفری - اقیانوسی و متأثر از فعالیت‌های انسانی در سطح جهانی و درازمدت است. این پدیده متأثر از عواملی چون فعالیت‌های خورشیدی، آتش‌فشان‌ها، اتمسفر، اقیانوس‌ها و گازهای گلخانه‌ای (با منشاء طبیعی و انسانی) موجود در اتمسفر می‌باشد که بر یکدیگر اثر متقابل می‌گذارند (متظری و فهمی، ۱۳۸۲). آلاینده‌های جوی نیز عناصری هستند که غلطت زیاد آنها سبب صدمه به چرخه‌های زیستی زمین می‌شود (کاویانی، ۲۰۰۲). شهر تهران به عنوان بزرگ‌ترین و پر جمعیت‌ترین شهر کشور، دچار معضل آلودگی هواست و عوامل متعددی از جمله عناصر آب و هوایی، مصرف سوخت‌های فسیلی ناشی از حمل و نقل، صنایع و مصارف انرژی خانگی و رشد افسارگسیخته جمعیت و توسعه شهری در ایجاد و دوام آلودگی آن نقش دارد.

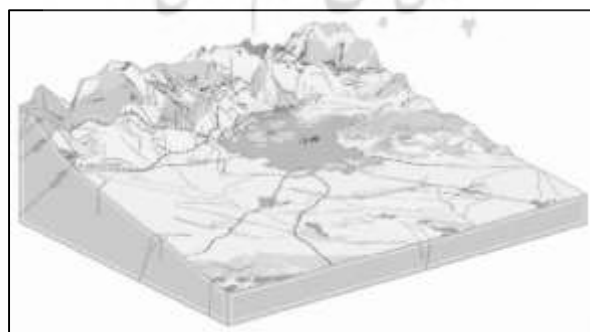
اثر تغییر اقلیم بر آلودگی هوای شهر تهران یکی از مطالعاتی هست که در زمینه آلودگی هوا در شهر تهران انجام شد و بررسی انجام شده نشان داد که اقلیم شهر تهران در دوره آلوده خود از نوسان بیشتری برخوردار بوده و نوسانات اقلیم منطقه در دوره آلوده به صورت افزایش دما، افزایش پتانسیل سیالاب خیزی و تغییر اقلیم به سوی وضعیتی گرم و مرطوب‌تر بوده است (روشن و همکاران، ۱۳۸۸). بررسی آسیب‌پذیری فضایی و بحران آلودگی هوا در کلان‌شهر تهران نیز نشان داد که نواحی غرب و جنوب شهر تهران به سبب تراکم بالای جمعیت و همچنین منابع آلاینده آسیب‌پذیری بیشتری را نسبت به سایر بخش‌های شهر از خود نموده‌اند که می‌تواند زنگ خطری برای سلامت شهروندان ساکن در این بخش از شهر باشد (عیسی لوه و همکاران، ۱۳۹۰). در همین راستا جاوید در سال ۱۳۹۱ با بررسی و تحلیل توزیع مکانی و تغییرات فصلی نشست آلاینده‌های هوا در ایستگاه‌های هواشناسی انتخابی استان تهران دریافت که شرایط حد آلودگی معمولاً در شرایطی اتفاق می‌افتد که سرعت باد کمتر است و ذرات به راحتی روی سطح نشست پیدا می‌کنند. زبردست و ریاضی (۱۳۹۴) هم در بررسی شاخص‌های محیط انسان ساخت و تأثیرات آن بر آلودگی هوای شهر تهران نشان دادند که غلطت آلاینده‌ها در نواحی مرکزی و غیر مرکزی شهر متفاوت بوده و شاخص‌های محیط انسان ساخت با غلطت آلاینده‌های هوا داری همبستگی می‌باشند. در مطالعه‌ای با موضوع پنهان‌بندی ماهانه میزان آلودگی هوا و بررسی نحوه ارتباط آن با عوامل اقلیمی نشان داده شد که در بیشتر ماه‌ها، بیشترین آلودگی هوا در مرکز شهر با داشتن ترافیک بیشتر و نیز میزان بارش و سرعت باد کمتر و جهت باد موافق مشهود است (اکبری و همکاران، ۱۳۹۴). در بررسی ارتباط بین آلاینده‌های شاخص کیفیت هوا و پارامترهای هواشناسی در تهران با رویکرد آنالیز رگرسیون نیز با استفاده از متغیرهای آلاینده‌های شاخص کیفیت هوا تهران و عناصر هواشناسی مشخص شد با توجه به معنی دار بودن ارتباط بین پارامترهای هواشناسی و آلاینده‌ها، پارامترهای هواشناسی می‌توانند در میزان آلاینده‌گی هوای شهر تهران مؤثر واقع شوند (جوان‌بخت امیری و خاتمی، ۱۳۹۱). بررسی و پنهان‌بندی آلودگی هوای شهر اصفهان نشان داد فصل پاییز آلوده‌ترین فصل در سال است و سال ۱۳۸۸ آلوده‌ترین

سال بوده و ایستگاه احمدآباد آلدترين ایستگاهها در بین ایستگاههاي متختب بوده است (نوروزي و محمدى، ۱۳۹۳). در تبريز نيز با ارزيايى و پهنه‌بندي آلدگى هوای کلان‌شهر تبريز دريافته است که روش كريجينگ جهت پهنه‌بندي آلدگى هوای شهر در ایستگاههاي مورد نظر نقش کاربری‌های اراضی در کاهش يا افزایش آلدگى را مؤثر دانستند (اسماعيل نژاد و ديگران، ۱۳۹۴). طی مطالعه‌اي بررسی روند نوسانات عناصر آب و هوای، افزایش دمای زمین را با استفاده از تحلیل‌های مربوط به سری‌های زمانی و مدل تابع خطی روند مورد ارزیابی قرار گرفت. بر اساس این تحقیق با افزایش ۱ درصدی گاز CO<sub>2</sub> در قرن گذشته، دمای کره زمین به طور متوسط به اندازه ۱,۳ درجه سانتی‌گراد افزایش پیدا کرده است (Allen, 2004). در زمینه روابط آلاینده‌ها و شرایط آب و هوایی، فنگر معتقد است علاوه بر منابع آلدگى هوای محلی، فعالیت‌های شهری به میزان قابل توجهی باعث آلدگی‌های مرزی و افزایش غلظت‌های جهانی گازهای گلخانه‌ای می‌شود و تلاش برای حل مشکلات شهری با معرفی فن‌آوری‌های پاکیزه و با کارآمدتر انرژی تأثيرات مثبتی بر این مشکلات بزرگ دارد. از سوی دیگر، تلاش‌های مبتنی بر برنامه‌ریزی شهر با گسترش فعالیت‌ها، ممکن است ترافیک بیشتری را تولید کند و بنابراین اثر متفاوتی داشته باشد (Fenger, 2002). دنیل و ديگران (۲۰۰۹) نيز با مطالعه اثرات تغيير آب و هوای در كيفيت هوا نشان دادند که تغييرات آب و هوایي به تنهايي باعث افزایش سطح ازن فصل تابستان در مناطق آلدود در طول دهه‌های آتي خواهد شد و اين افزایش بيشتر در مناطق شهری و در دوره آلدگى رخ خواهد داد. در مطالعه ارتباط آلاینده‌های هوای مانند دی اکسید کربن، ازن، اکسید نیترون با عناصر، آب و هوایی بارش، رطوبت، دما در شبه‌جزیره کره جنوبی با استفاده از GIS مشخص شد که بين پارامترهای دما و SO<sub>2</sub> و بين سرعت باد و CO<sub>2</sub> و همچنین بين رطوبت نسبی و O<sub>3</sub> ارتباط معنادار معکوسی وجود دارد (park et al, 2012). با بررسی اکسیدهای نیتروژن و ازن و PM2.5 به منزله آلاینده‌های هوای و تغيير آب و هوایي مؤثر بر آن‌ها به منزله آلاینده‌ها و تغيير آب و هوای مؤثر بر آن‌ها دريافت شد که تغيير در دما و الگوي بارش، طول مدت برخورداری از O<sub>3</sub> و شدت آن را تقويت می‌کند (peel et al, 2012). دورتی و ديگران نيز (۲۰۱۳) به بررسی تأثيرات تغيير آب و هوای نظير بارش، رطوبت نسبی و دما بر آلدگى هوای ازن O<sub>3</sub> در جهان پرداختند و دريافته است که در بین سه مدل بررسی شده بين تغييرات دما و تغييرات آلدگى ارتباط مثبت وجود دارد. مدل‌های گردش عمومی جوی و روش‌های مختلف ريز مقیاس نمایی از ابزارهای مهم در پیش‌بینی سناریویی و بررسی روند تغييرات آب و هوایی می‌باشند. بررسی‌های انجام شده در کشور نيز غالباً نشان از روند مثبت تغييرات دمایی را نشان می‌دهد. در بررسی تغييرات زمانی و مكانی بارش سالانه کشور، بر اساس روش SDSM، مشخص گردید به کارگیری داده‌های ريز مقیاس شده حاصل از مدل‌های بزرگ مقیاس، جهت بهینه‌سازی داده‌های ادوار آتی، در مقیاس ایستگاهی می‌تواند به صورت قابل قبول مورد استفاده قرار گیرد (اعطاف، ۱۳۹۵). نتایج حاصل از پژوهش زولکارييان و ديگران (۲۰۱۴) از دو مدل

برای شبیه‌سازی و ریزمقیاس نمایی بارش و دما در مالزی (با آب و هوای حاره‌ای) نشان داد LARS - WG و SDSM که خروجی‌های SDSM دارای عملکرد بهتری در مقایسه با LARS-WG می‌باشدند. بررسی عدم قطعیت پارامترهای آب و هوای دما و بارش شبیه‌سازی شده توسط دو مدل ریزمقیاس نمایی LARS - WG و SDSM نشان داد که مدل LARS - WG در شبیه‌سازی بارش دارای عملکرد بهتری نسبت به مدل SDSM می‌باشد و در آینده نزدیک کاهش در بارش را نشان می‌دهد. همچنین مدل SDSM در شبیه‌سازی دما دارای عملکرد بهتری بوده و افزایش دما را نشان می‌دهد (Zamani et al,2014). در ریزمقیاس نمایی دما در مناطق مختلف پاکستان که حسین کاظم و دیگران (۲۰۱۴) به بررسی آن پرداختند به این نتیجه رسیدند که خروجی ریز مقیاس نمایی با روش SDSM نسبت به روش‌های دیگر ریزمقیاس نمایی نتایج بهتری را نشان می‌دهد. اثر تغییر آب و هوای را روی روند رواناب نیز با استفاده از مدل HMS-HEC و SDSM مطالعه قرار گرفت و نشان داده شد که مدل SDSM به عنوان یک مدل ریزمقیاس نمایی آماری، از کارایی خوبی جهت پیش‌بینی متغیرهای آب و هوای برخوردار است (Kabiri et al,2015). با توجه مرور مطالعات انجام شده در زمینه رخداد تغییر آب و هوای در سطوح جهانی و ملی و بروز این تغییرات باشد و ضعف مختلف در کشور ما، این پژوهش به دنبال مطالعه اثرات تغییر آب و هوای بر روند آلاینده‌های کلان‌شهر تهران در سال‌های آتی و دستیابی به روش‌های مناسب و دقیق جهت تحلیل روابط آلدگی هوا (حاصل از فعالیت‌های انسانی) و تغییرات آب و هوایی در کلان‌شهر تهران و پیش‌بینی روند آلدگی هوا ناشی از این تغییرات در سال‌های آینده می‌باشد.

## ۲- مواد و روش‌ها

منطقه مورد مطالعه از لحاظ موقعیت مکانی در محدوده کلان‌شهر تهران می‌باشد که بین ۳۵ درجه و ۴۸ دقیقه تا ۳۵ درجه و ۴۸ دقیقه عرض شمالی و ۵۱ درجه و ۱۷ دقیقه تا ۵۱ درجه و ۳۳ دقیقه طول شرقی در کوهپایه‌های جنوبی کوه‌های البرز با مساحتی حدود ۸۰۰ کیلومترمربع واقع شده است (شکل ۱).



شکل ۱- بلوک دیاگرام ژئومورفولوژی محدوده تهران (اطلس کلان‌شهر تهران، ۸۹)

برای پیش‌بینی و ارزیابی تغییرات آینده آب‌وهوای کلان‌شهر تهران و روابط آن با کیفیت هوای تهران از روش پیش‌بینی سناریویی SDSM استفاده می‌شود سپس با روش همبستگی پرسون و مدل رگرسیونی به پیش‌بینی و تحلیل روابط آینده آن با کیفیت هوای تهران با استفاده از دو سناریو خوشبینانه 2.6 RCP و بدینانه 8.5 RCP پرداخته می‌شود. جهت این کار ابتدا اقدام به ریزمقیاس نمایی خروجی‌های بزرگ مقیاس (GCM) شده است. در این پژوهش جهت تولید داده‌های دما و بارش روزانه از خروجی مدل HADCM3 استفاده شده است. یکی از دلایل انتخاب این مدل، در دسترس بودن متغیرهای آن جهت دریافت و نتایج بهتر آن در مطالعات انجام شده دنیا در مقایسه با سایر مدل‌ها می‌باشد. مدل HADCM3 دارای قدرت تفکیک افقی ۲,۵ در ۳,۷۵ درجه عرض و طول جغرافیایی می‌باشد که معادل ۹۶ در ۷۳ نقطه شبکه‌ای در کل کره زمین می‌باشد. تعداد لایه‌های این مدل در راستای قائم جو، ۱۹ لایه است. این مدل طرح‌واره تابشی جدیدی برای مدل‌سازی اثرات گازهای نادر دارد (Edwards & Slingo, 1996).

مدل ریزمقیاس نمایی آماری SDSM برای شبیه‌سازی داده‌های آب‌وهوای در یک ایستگاه خاص در شرایط حال حاضر و در شرایط آینده تحت تأثیر پدیده تغییر آب‌وهوا بکار می‌رود که داده‌های آن به صورت سری‌های زمانی روزانه برای یک سری از متغیرهای آب‌وهوای مانند بارندگی، حداقل و حداکثر دما و سایر پارامترهای جوی می‌باشد (رنجبر، ۱۳۹۵). این مدل اولین بار در سال ۲۰۰۲ توسط ویلی و همکارانش ارائه و توسعه یافت. این مدل از نوع مدل‌های تابع انتقالی (مدل‌های رگرسیونی) می‌باشد و قادر است در هر مرحله اجرا بین ۱ تا ۱۰۰ بار داده‌ها را شبیه‌سازی نماید. در این تحقیق به منظور بررسی میزان کارایی مدل از دو معیار میانگین خطای مطلق استفاده شد (رابطه ۱).

$$MAE = \frac{1}{n} \sum_{i=1}^n |x_{iob} - x_{ie}| \quad (1)$$

که در این رابطه:  $x_{iob}$  مقدار مشاهده شده متغیر مورد نظر،  $x_{ie}$  مقدار شبیه‌سازی شده متغیر مورد نظر و میانگین خطای مطلق می‌باشد. هر چه مقدار هر  $MAE$  کمتر باشد، نشان دهنده این است که مدل متغیر مورد نظر را با دقت بیشتری برآورد نموده است. اگر  $MAE$  صفر باشد، بدین معنا است که مدل به طور کامل و دقیق متغیر مورد نظر را شبیه می‌نماید. سناریوهای مورد استفاده جهت پیش‌بینی عناصر آب‌وهوا (حداکثر و حداقل (ما و بارش) نیز بر مبنای سناریوی انتشار خوشبینانه 2.6 RCP و بدینانه 8.5 RCP بوده و با استفاده از این سناریوها نیز به پیش‌بینی سناریوی آلاینده‌های هوا پرداخته شد.

### ۳- نتایج و بحث

جهت پیش‌بینی و تحلیل سناریوی شاخص‌های آلاینده‌های هوای کلان‌شهر تهران، ابتدا به پیش‌بینی سناریویی شرایط دمای حداقل، حداکثر و بارش روزانه ایستگاه‌های منتخب کلان‌شهر تهران (مهرآباد، ژئوفیزیک و شمیران) پرداخته شده است و سپس با میانگین گیری داده‌های (حداکثر دما، حداقل دما و بارش) ایستگاه‌های منتخب به عنوان

داده‌های میانگین شهر تهران و با استفاده از داده‌های میانگین شاخص‌های آلدگی هوای تهران به بررسی و تحلیل روابط همبستگی و رگرسیونی آنها با میانگین شاخص‌های آلدگی هوای تهران پرداخته و رفتار آلاینده‌های هوای تهران در سال‌های آینده از طریق پیش‌بینی سناریویی مورد ارزیابی قرار می‌گیرد.

### ۱-۳- پیش‌بینی سناریویی دما و بارش کلان‌شهر تهران

#### ۱-۱-۳- حداقل دمای ایستگاه‌ها

با توجه به روش تحقیق، جهت ریز مقیاس نمایی داده‌های بزرگ‌مقیاس GCM با استفاده از مدل SDSM ابتدا می‌بایست یک رابطه و مدل مناسب بین متغیرهای بزرگ‌مقیاس (NCEP) و داده‌های ایستگاهی دوره حاضر جهت تعیین به دوره آینده ایجاد نمود. رابطه رگرسیونی بین متغیرهای پیش‌بینی کننده (NCEP) و پیش‌بینی شونده (حداقل دما) برای ایستگاه‌های منتخب شهر تهران نشان داد، دمای حداقل روزانه با متغیرهای ارتفاع سطح ۵۰۰ هکتوپاسکال و تاوایی سطح ۵۰۰ هکتوپاسکال و تاوایی سطح زمین بیشترین ارتباط را داشته‌اند (جدول ۳). پس از ایجاد معادله رگرسیونی و کالیبره کرده مدل بر روی ایستگاه‌ها در دوره ۱۹۹۱-۲۰۱۰، یک سری زمانی از حداقل دما برای ایستگاه‌های مورد مطالعه برای دوره ۲۰۱۱-۲۰۱۶ جهت صحت سنجی و قابلیت اطمینان مدل تولید شد. نتایج صحت سنجی مدل نشان داد، داده‌های دوره پایه حداقل دما و داده‌های تولید شده در دوره ۲۰۱۱-۲۰۱۶ از لحاظ میانگین و انحراف معیار دارای یک شباهت نسبی بوده و اختلاف کمی دارند (جدول ۱). از طرف دیگر میزان ارتباط بین داده‌های دوره پایه و داده‌های تولید شده با سطح معنی‌داری بسیار مطلوب و با ضریب همبستگی قوی بیانگر قابلیت و توان مدل برای تولید داده‌های حداقل دمای روزانه برای دوره آینده بوده است (شکل ۱).



شکل ۱- ارتباط بین داده‌های حداقل دمای ماهانه دوره پایه و تولید شده در دوره ۱۹۹۱-۲۰۱۶

با توجه به آنالیزهای آماری و نتایج ریز مقیاس نمایی داده‌های مدل HADCM3 میانگین دمای حداقل در تمامی ایستگاه‌های منتخب در دوره زمانی ۲۰۱۷-۲۰۴۷ با افزایش موافق بوده است. در دوره پیش‌بینی نیز، میانگین حداقل دمای ایستگاه‌های مورد مطالعه حدود 12.5 درجه سانتیگراد بوده و نتایج نشان می‌دهد بر اساس دو سناریوی RCP

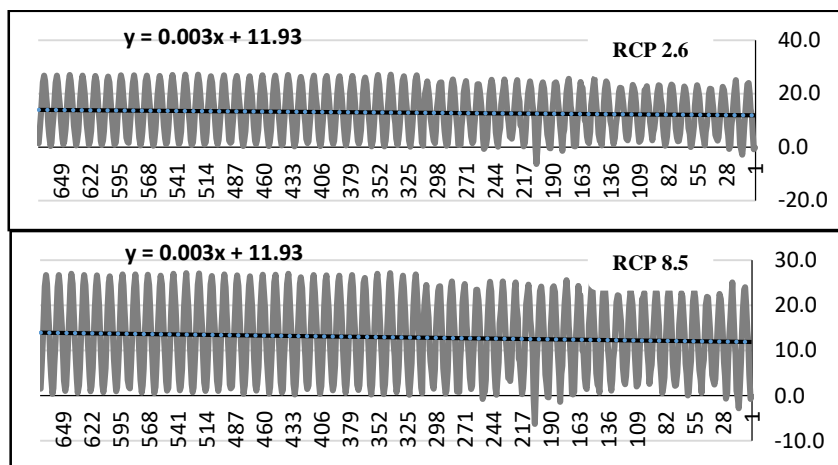
۲.۶ و RCP8.5 میانگین دمای تهران در دوره ۲۰۱۷-۲۰۴۷ به ترتیب به ۱۳,۴ و ۱۳,۸ درجه خواهد رسید. با این وجود سناریوی RCP8.5 نسبت به سناریوی RCP 2.6 شرایط بدینانه‌تری را برای هر یک از ایستگاه‌ها به دنبال داشته است. جدول (۲) میانگین دمای حداقل و انحراف معیار آن را برای دوره ۲۰۱۷-۲۰۴۷ نشان می‌دهد و مقدار تغییرات حداقل دما در ایستگاه‌های منتخب در سی سال آینده نشان داد در هر دو سناریوی RCP 2.6 و RCP8.5 افزایش دما نسبت به داده‌های مشاهده شده رخ داده است (شکل ۲).

جدول ۱ - مقایسه آماری حداقل دمای ماهانه دوره پایه و تولید شده در دوره ۱۹۹۱-۲۰۱۶

نام ایستگاه	پارامتر	میانگین	انحراف معیار	ضریب همبستگی (R)	سطح معنی‌داری
مهرآباد	حداقل دما- مشاهداتی	۱۳,۴	۸,۷	۰	
	حداقل دما- مدل شده	۱۳,۷	۸,۶	۰,۹۹	
شمیران	حداقل دما- مشاهداتی	۱۱,۱	۸,۳	۰	
	حداقل دما- مدل شده	۱۱,۴	۸,۵	۰,۹۹	
ژئوفیزیک	حداقل دما- مشاهداتی	۱۲,۵	۸,۸	۰	
	حداقل دما- مدل شده	۱۲,۹	۸,۷	۰,۹۹	
میانگین کل ایستگاه‌ها	حداقل دما- مشاهداتی	۱۲,۳	۸,۶	۰	
	حداقل دما- مدل شده	۱۲,۵	۸,۷	۰,۹۹	

جدول ۲ - تغییرات حداقل دمای ماهانه داده‌های مشاهده شده و خروجی مدل

RCP8.5	۲۰۴۷-۲۰۱۷ دوره	۲۰۱۶-۱۹۹۱ دوره	پارامتر	نام ایستگاه
۱۳,۹	۱۳,۶	۱۳,۵	میانگین حداقل دما	مهرآباد
۸,۹	۹,۱	۸,۶	انحراف معیار	
۱۳,۲	۱۳,۱	۱۱,۱	میانگین حداقل دما	شمیران
۸,۹	۸,۹	۸,۴	انحراف معیار	
۱۴,۴	۱۳,۵	۱۲,۹	میانگین حداقل دما	ژئوفیزیک
۹	۸,۸	۸,۷	انحراف معیار	
۱۳,۸	۱۳,۴	۱۲,۵	میانگین حداقل دما	میانگین کل ایستگاه‌ها
۸,۹	۸,۹	۸,۶	انحراف معیار	



شکل ۲- تغییرات میانگین ماهانه حداقل دمای تهران با سناریوی RCP 2.6 و RCP 8.5 (۱۹۹۱-۲۰۴۷)

### ۳-۱-۲-حداکثر دما

ارزیابی ارتباط بین متغیرهای بزرگ مقیاس (NCEP) و متغیر بیشینه دمای روزانه در ایستگاه‌های منتخب نشان می‌دهد که از بین تمامی متغیرهای موجود، تاوایی سطح ۵۰۰ هکتوپاسکال و ارتفاع سطح ۵۰۰ هکتوپاسکال بیشترین ارتباط را با بیشینه دما دارند. درواقع نتیجه مدل و ارتباط بین متغیرها بیانگر این مطلب است که افزایش ارتفاع در سطح ۵۰۰ هکتوپاسکال و افزایش میزان تاوایی در این سطح همراه با افزایش دما در تهران می‌باشد. (جدول ۳). با توجه به اینکه برای صحت سنجی مدل ایجاد شده نیاز به تولید سری زمانی دما در دوره مشاهداتی می‌باشد، برای این کار همانند کمینه دما، دوره ۱۹۹۱-۲۰۱۰ به عنوان دوره کالیبراسیون و دوره ۲۰۱۱-۲۰۱۶ به عنوان دوره واسنجی مورد استفاده قرار گرفت. نتایج داده‌های تولید شده نشان داد مدل ایجاد شده به طور نسبی دارای قابلیت مناسبی برای تولید سری به طور نسبی دارای قابلیت مناسبی تولید سری به طور نسبی دارای قابلیت مناسبی برای تولید سری داده‌های روزانه برای آینده داشته است (شکل ۳).

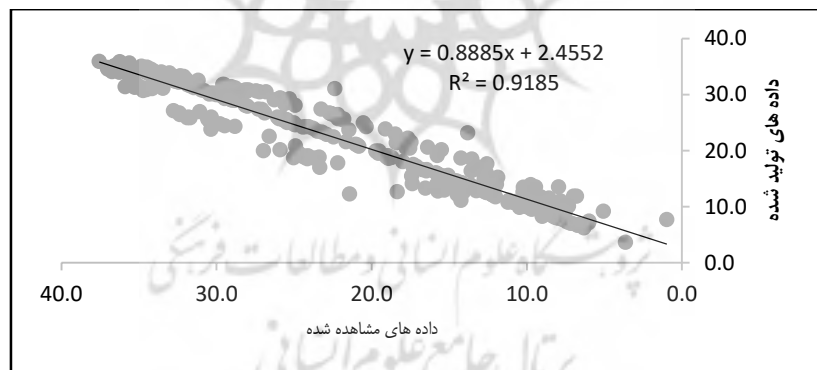
جدول ۳- ارتباط متغیرهای دما و بارش روزانه ایستگاه‌های مورد مطالعه با متغیرهای بزرگ مقیاس NCEP.

ردیف	نام متغیر	ایستگاه	ارتفاع سطح hp <sub>500</sub>	تاوایی سطح hp <sub>500</sub>	تاوایی سطح زمین	رطوبت نسبی سطح ۸۵۰	رطوبت ویژه سطح زمین
۱	حداقل دمای روزانه	فرودگاه مهرآباد	۰,۸	۰,۳۸	۰,۵۶	...	...
۲		ژئوفیزیک	۰,۴۸	۰,۳۴	۰,۷۴	...	...
۳		شمیران	۰,۸۱	۰,۴۱	۰,۴۷	...	...
۴	حداکثر دمای روزانه	فرودگاه مهرآباد	۰,۸۵	...	۰,۳۶	...	...
۵		ژئوفیزیک	۰,۶۴	...	۰,۳	...	...
۶		شمیران	۰,۷۱	...	۰,۲۹	...	...

## ادامه جدول ۳

ردیف	نام متغیر	ایستگاه	ارتفاع سطح hp500	تواتری سطح hp 500	تواتری سطح زمین	رطوبت نسبی سطح ۸۵۰	رطوبت ویژه سطح زمین
۷	بارش روزانه	فروندگاه مهرآباد	۰,۶۴	...	...	۰,۴۸	۰,۳۶
۸		ژئوفزیک	۰,۵۸	...	...	۰,۳۸	۰,۳۴
۹		شمیران	۰,۶۱	...	...	۰,۴۴	۰,۳۳

جدول ۴ میزان همبستگی بین داده‌های مشاهداتی و مدل شده در دوره ۲۰۱۱-۲۰۱۶ را نشان می‌دهد. طبق این جدول میزان میانگین دما و انحراف معیار در داده‌های مشاهداتی و داده‌های تولید شده دارای اختلاف قابل ملاحظه نبوده و سطح معنی‌داری همه داده‌های مشاهده شده نیز با داده‌های مدل شده در سطح ۰,۰۵ بسیار مطلوب بوده است. نتایج ریز مقیاس نمایی حداکثر دما برای ایستگاه‌های منتخب نیز نشان می‌دهد که دمای هوا در دوره ۲۰۱۶-۲۰۴۷ و بر اساس دو سناریوی مورد بررسی، دارای روند افزایشی خواهد بود. ریز مقیاس نمایی حداکثر دما برای ایستگاه‌های مختلف نیز روشن ساخته که دمای هوا در دوره ۲۰۱۶-۲۰۴۷ و بر اساس دو سناریوی مورد بررسی، دارای روند افزایشی خواهد بود (شکل ۴).



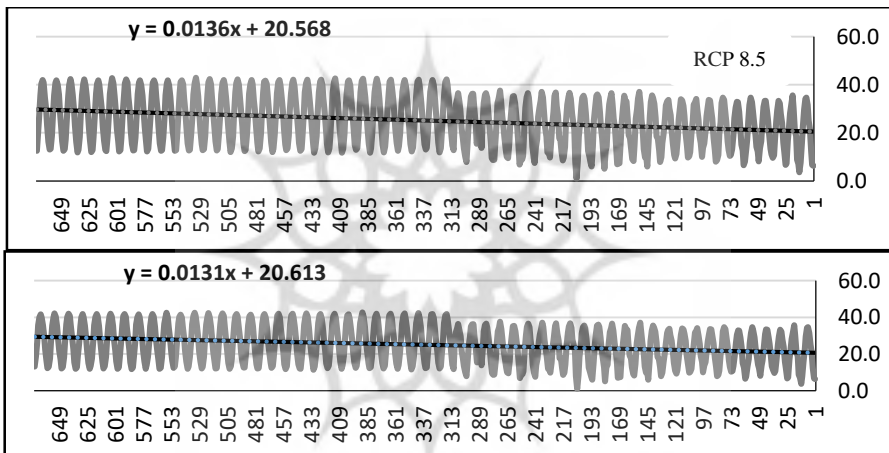
شکل ۳- ارتباط حداکثر دمای ماهانه مشاهداتی و تولید شده دوره ۱۹۹۱-۲۰۱۶

جدول ۴ - مقایسه آماری حداکثر دمای ماهانه دوره پایه و تولید شده در دوره ۱۹۹۱-۲۰۱۶

سطح معنی‌داری (۰,۰۵)	ضریب همبستگی (R)	انحراف معیار	میانگین	پارامتر	نام ایستگاه
					حداکثر دما- مشاهداتی
.	۰,۹۲	۱۰,۱	۲۳,۶	حداکثر دما- مدل شده	مهرآباد
		۱۰,۵	۲۳		

## ادامه جدول ۴

سطح معنی داری (۰,۰۵)	ضریب همبستگی (R)	انحراف معیار	میانگین	پارامتر	نام ایستگاه
•		۱۰,۲	۲۲,۲	حداکثر دما- مشاهداتی	شمیران
	۰,۹۲	۱۰,۲	۲۲,۶	حداکثر دما- مدل شده	
•		۱۰,۵	۲۳,۴	حداکثر دما- مشاهداتی	ژئوفیزیک
	۰,۹۳	۱۰,۴	۲۲,۸	حداکثر دما- مدل شده	
•		۹,۶	۲۳	۲۰۱۶-۱۹۹۱- مشاهداتی	میانگین کل ایستگاه‌ها
	۰,۹۲	۸,۹	۲۱	۲۰۱۶-۱۹۹۱- مدل شده	



شکل ۴ - تغییرات میانگین ماهانه حداکثر دمای شهر تهران با سناریوی ۲.۶ RCP و ۸.۵ RCP از سال ۱۹۹۱-۲۰۱۶

## ۳-۱-۳- بارش ایستگاه‌ها

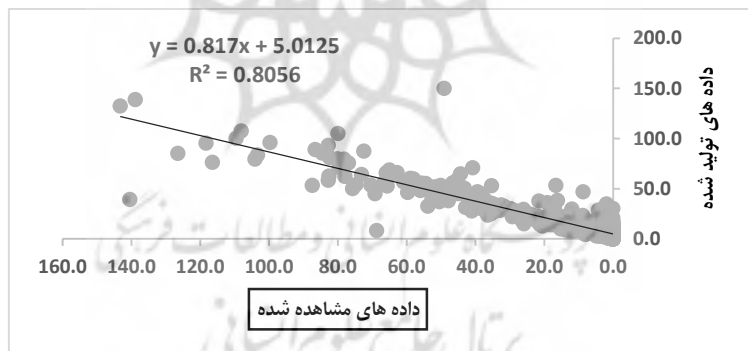
با توجه به رابطه بین داده‌های بارش روزانه در دوره مشاهداتی و داده‌های روزانه (NCEP)، بیشترین ارتباط متغیرهای بزرگ مقیاس (پیش‌بینی‌کننده) با بارش روزانه (پیش‌بینی شونده) مربوط به تاوایی سطح ۵۰۰، رطوبت سطح ۸۵۰ هکتوپاسکال و رطوبت نسبی سطح ۸۵۰ می‌باشد (جدول ۵). با این ویژگی‌ها، مدل مورد نظر برای ایجاد داده‌های بارش روزانه در دهه‌های آینده و همچنین دوره صحت سنجی تحت تأثیر متغیرهای فوق خواهد بود. در مجموع میزان ارتباط متغیرهای بزرگ مقیاس با داده‌های روزانه بارش در دوره ۱۹۹۱-۲۰۱۶ به طور قابل ملاحظه کمتر از میزان ارتباط آنها با داده‌های روزانه دما در ایستگاه‌های مطالعه بوده است. این امر می‌تواند میزان دقت در تولید داده‌های بارش روزانه آینده را تحت تأثیر قرار دهد. برای صحت سنجی مدل ایجاد شده، داده‌های بارش دوره ۲۰۱۱-۲۰۱۶

۲۰۱۶ به عنوان دوره صحت سنجی انتخاب و با توجه به مدل رگرسیونی داده‌های مشاهد شده با متغیرهای بزرگ‌مقیاس جدول فوق، داده‌های روزانه بارش تولید شد (شکل ۵). بر اساس این شکل، ارتباط داده‌های مشاهده شده و تولید شده مطلوب بوده و میزان ضریب کنترل این داده‌ها

#### جدول ۵ - مقدار همبستگی جزئی بین بارش روزانه و متغیرهای بزرگ‌مقیاس (NCEP)

ردیف	ایستگاه	hp500	ارتفاع سطح ۸۵۰	رطوبت نسبی سطح زمین
۱	فرودگاه مهرآباد	۰,۶۴	۰,۴۸	۰,۳۶
۲	ژئوفیزیک	۰,۵۸	۰,۳۸	۰,۳۴
۳	شمیران	۰,۶۱	۰,۴۴	۰,۳۳

حدود  $R=0,80$  بوده است. همچنین میانگین روزانه و انحراف معیار داده‌های بارش روزانه مشاهداتی و تولید شده را نشان می‌دهد. بر اساس جدول ۶ نیز میانگین بارش ماهانه برای دوره مشاهداتی حدود ۲۶,۷ میلی‌متر و برای داده‌های تولید شده حدود ۲۶,۴ میلی‌متر می‌باشد. این مقادیر به همراه مقادیر انحراف معیار بارش مشاهداتی و تولید شده نشان می‌دهد، مدل مورد نظر به طور مطلوب کارایی و توانایی بازسازی داده‌های روزانه بارش را برای دوره آینده دارا می‌باشد.



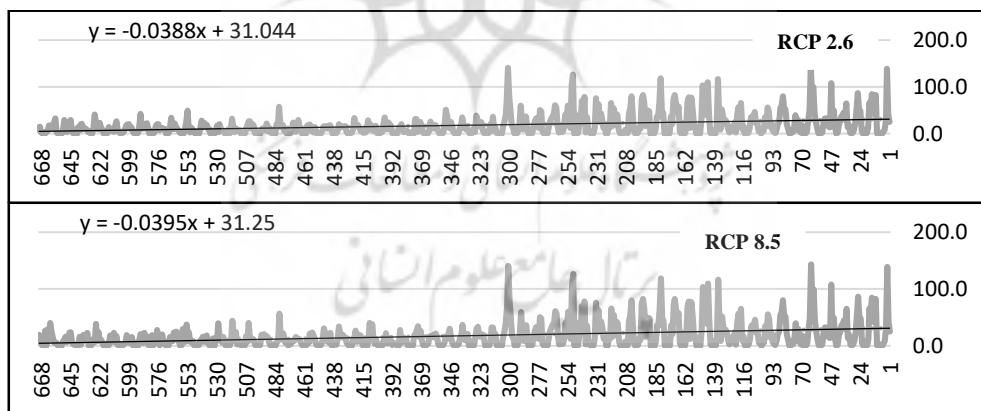
شکل ۵ - ارتباط بین داده‌های بارش ماهانه دوره پایه و تولید شده در دوره ۲۰۱۶-۱۹۹۱

نتایج ریزمقیاس نمایی بارش روزانه ایستگاه‌های مورد مطالعه برای دوره ۲۰۱۷-۲۰۴۷ نشانگر تغییرات در مقادیر بارش بوده و بر اساس خروجی سناریوهای مورد نظر، همه ایستگاه‌ها مورد مطالعه با کاهش بارش در سال‌های آینده رو به رو خواهد بود (شکل ۶).

جدول ۶ - مقایسه آماری بارش ماهانه دوره پایه و تولید شده در دوره ۱۹۹۱-۲۰۱۶

نام ایستگاه	پارامتر	میانگین	انحراف معیار	ضریب همبستگی (R)	سطح معنی داری
مهرآباد	بارش- مشاهداتی	۱۷,۱	۱۹,۶	۰,۸۲	۰,۰۳
	بارش- مدل شده	۱۶,۶	۱۹,۴		
شمیران	بارش- مشاهداتی	۳۳,۵	۳۳,۴	۰,۷۸	۰,۰۵
	بارش- مدل شده	۳۲,۹	۳۳,۴		
ژئوفیزیک	بارش- مشاهداتی	۲۹,۶	۴۹,۹	۰,۷۹	۰,۰۴
	بارش- مدل شده	۲۹,۹	۵۰,۹		
میانگین کل ایستگاهها	بارش- مشاهداتی ۱۹۹۱-۲۰۱۶	۲۷,۷	۲۹,۷	۰,۸۰	۰,۰۴
	بارش- مدل شده ۱۹۹۱-۲۰۱۶	۲۶,۴	۲۶,۸		

اساس خروجی مدل SDSM حاصل از ریز مقیاس نمایی داده‌های مدل HADCM3، میانگین بارش ماهانه ایستگاه‌های مورد مطالعه در دوره ۲۰۱۷-۲۰۴۷ تحت سناریوی RCP8.5 (شرایط بدینانه) حدود ۲۰,۹ میلی‌متر، تحت سناریوی RCP 2.6 (شرایط خوش بینانه) حدود ۲۲,۱ میلی‌متر می‌باشد. این در حالی است که میانگین بارش ماهانه در دوره مشاهداتی ۱۹۹۱-۲۰۱۶ حدود ۲۵,۵ میلی‌متر بوده که با توجه شکل‌های زیر روند نزولی را طی سالیان آینده نشان می‌دهد.



شکل ۶- تغییرات میانگین ماهانه بارش شهر تهران با سناریوی RCP 2.6 و RCP 8.5 از سال ۱۹۹۱-۲۰۱۶

برای ارزیابی و تحلیل سناریویی آلتاینده‌های هوای شهر تهران، با توجه به نتایج این بررسی‌ها و میانگین داده‌های سناریویی این عناصر و استقاده از میزان روابط و همبستگی و معادلات رگرسیونی به تولید داده‌های سناریویی متغیرهای وابسته یعنی شاخص‌های متوسط آلودگی هوای تهران به تحلیل و ارزیابی سناریویی این متغیرها پرداخته

شد. برای بررسی این موضوع، با توجه به پایه آماری شاخص‌های آلودگی که از سال ۲۰۰۶ و داده‌ها روزانه بوده، پارامترهای هواشناسی نیز بر همین مبنای انتخاب و روابط آنها مورد تحلیل قرار گرفته است.

### ۳-۲- پیش بینی سناریویی آلودگی هوای کلان شهر تهران

روابط بین پارامترهای ثبت شده و موجود هواشناسی و آلودگی هوای نشان می‌دهد (جدول ۷) که بیشتر شاخص‌های آلودگی هوایا با متغیرهای حداقل و حدکثر دما ارتباط معناداری داشته‌اند. به‌طوری که روابط شاخص CO<sub>2</sub> با متغیرهای متوسط حداقل و حدکثر دمای هوای نشان از همبستگی مطلوب بوده که سطح معنی‌داری آن به ترتیب ۰,۰۰۳ و ۰,۰۰۹ بوده است. در خصوص شاخص آلودگی O<sub>3</sub> نیز روابط این پارامتر با متغیرهای هواشناسی نشان از ارتباط آن با متوسط حداقل و حدکثر دما هوای (با سطح معنی‌داری ۰,۰۲ و ۰,۰۲۵) بوده است. در بین شاخص‌های مختلف آلودگی، شاخص‌های NO<sub>2</sub> و PM<sub>2.5</sub> هیچ گونه رابطه و همبستگی با متغیرهای هواشناسی نداشتند. در مورد شاخص آلودگی هوای PM<sub>10</sub> نیز این شاخص با حداقل و حدکثر دما هوای ارتباط مناسبی نشان داده است که سطح معنی‌داری آن نیز زیر ۰,۰۵ بوده است.

جدول ۷ - روابط متغیرهای آلودگی و هواشناسی تهران در بازه زمانی ۲۰۰۶-۲۰۱۶

		شاخص‌ها	
	متوجه مجموع بارندگی	متوجه حداقل دما	متوجه حدکثر دما
CO <sub>2</sub>			
۰,۱۶۷-	۰,۲۲۷	۰,۲۰۹	Pearson Correlation
۰,۰۵۹	۰,۰۰۹	۰,۰۰۳	Sig. (2-tailed)
۴۰۱۸	۴۰۱۸	۴۰۱۸	N
O <sub>3</sub>			
۰,۱۳۸-	۰,۱۹۶	۰,۱۹۸	Pearson Correlation
۰,۱۱۶	۰,۰۲۵	۰,۰۲۳	Sig. (2-tailed)
۴۰۱۸	۴۰۱۸	۴۰۱۸	N
NO <sub>2</sub>			
۰,۰۹۴-	۰,۰۹۱	۰,۰۶۴	Pearson Correlation
۰,۲۸۴	۰,۲۹۸	۰,۴۶۵	Sig. (2-tailed)
۴۰۱۸	۴۰۱۸	۴۰۱۸	N
SO <sub>2</sub>			
۰,۰۶۹-	۰,۰۶۸-	۰,۰۹۵	Pearson Correlation
۰,۴۳۴	۰,۷۴۷	۰,۹۷۸	Sig. (2-tailed)
۴۰۱۸	۴۰۱۸	۴۰۱۸	N
PM <sub>10</sub>			
۰,۱۹۷-	۰,۲۳۸	۰,۲۴۷	Pearson Correlation
.064	.006	.004	Sig. (2-tailed)
۴۰۱۸	۴۰۱۸	۴۰۱۸	N

باتوجه به کیفیت روابط و همبستگی شاخص‌های آلودگی هوای تهران با متغیرهای هواشناسی منتخب، مشخص شد که تنها شاخص‌های آلودگی CO<sub>2</sub>, O<sub>3</sub> و PM10 با متغیرهای هواشناسی ارتباط داشته‌اند. بنابراین با کمک داده‌های سناریویی و تولید شده متغیرهای هواشناسی تهران در دوره زمانی ۲۰۱۷ تا ۲۰۴۷ تحت سناریوهای خوش بینانه RCP 8.5 و بدینانه RCP 2.6، ابتدا به تحلیل رگرسیون داده‌های موجود شاخص‌های آلودگی هوای پارامترهای هواشناسی پرداخته و با توجه به معادلات رگرسیونی بدست آمده به تولید داده‌های آلودگی هوای تحلیل سناریویی هریک از آنها پرداخته شد.

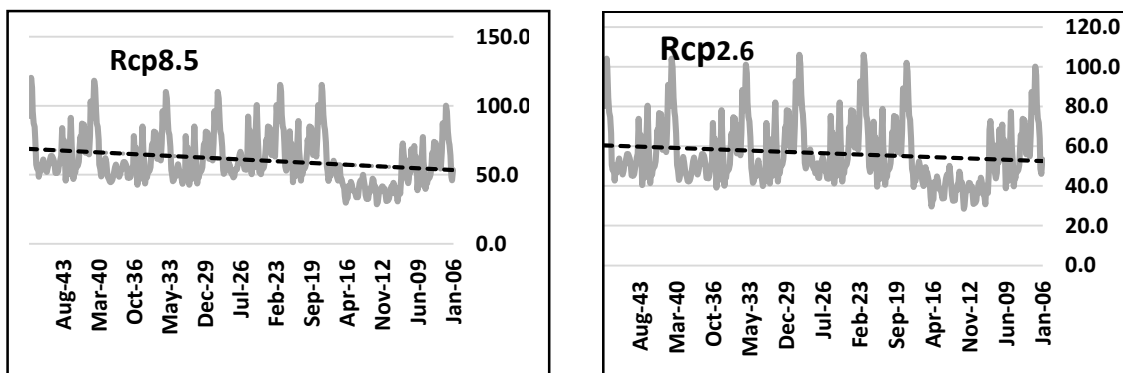
**شاخص CO<sub>2</sub>:** با توجه به همبستگی این شاخص با متوسط حداقل و حداکثر دمای هوای ضرایب بدست آمده در جدول ضرایب رگرسیونی این شاخص (جدول ۸) معادله رگرسیونی زیر برای تولید داده‌های CO<sub>2</sub> برای دوره زمان ۲۰۱۷ تا ۲۰۴۷ استفاده شد:

$$Y = 52.9 + 1.74_{mindama} - 1.13_{maxdama} \quad (رابطه ۱)$$

جدول ۸ - ضرایب رگرسیونی شاخص‌های آلودگی

سطح معنی‌داری	t	ضرایب استاندارد شده		ضرایب استاندارد نشده	شاخص
		Beta	Std. Error		
.	8.779			۵۲,۹۰۹	(Constant)
۰,۰۰۲	۲,۲۵۶	۱,۰۱۱	۰,۷۷۳	۱,۷۴۴	حداقل دما
۰,۰۰۹	-۱,۷۰۹	-۰,۷۶۶	۰,۷۶۴	-۱,۱۳۴	حداکثر دما
.	۵,۱۹۸			۳۵,۱۶	(Constant)
۰,۲۳	۰,۳۵۱	۰,۱۶۱	۰,۸۶	۰,۳۰۴	حداقل دما
۰,۰۲۵	۰,۰۸۱	۰,۰۳۷	۰,۷۴۵	۰,۰۶	حداکثر دما
.	۱۳,۱۵۱			۵۹,۹۲	(Constant)
۰,۰۰۴	۰,۸۷۲	۰,۳۹۷	۰,۵۸۴	۰,۵۱	حداقل دما
۰,۰۰۶	-۰,۳۳۴	-۰,۱۵۲	۰,۵۰۲	-۰,۱۶۸	حداکثر دما

با توجه به معادله رگرسیونی بدست آمده و تولیده داده‌ها به صورت ماهانه تا سال ۲۰۴۷، شکل روند این شاخص در حالت‌های خوش بینانه RCP 8.5 و بدینانه RCP 2.6 ترسیم شد (شکل ۷) که نشان داد در سناریوی RCP 2.6، روند این شاخص در ارتباط با حداقل و حداکثر دما دارای سیر بطئی افزایشی بوده و از معنا داری خاصی هم برخوردار نیست. در حالی که در سناریوی بدینانه یعنی RCP 2.6 این روند نمود بیشتری داشته به طوری که نشان دهنده سیر صعودی مقدار CO<sub>2</sub> در سی سال آینده می‌باشد.



شکل ۷ - روند ماهانه شاخص  $\text{CO}_2$  در سناریوی  $\text{RCP} 2.6$  و  $\text{RCP} 8.5$  در دوره زمانی ۲۰۰۷-۲۰۴۷

**شاخص ۰۳:** با توجه به همبستگی این شاخص با متوسط حداقل و حداکثر دمای هوا و ضرایب بدست آمده در جدول ضرایب رگرسیونی این شاخص (جدول ۸) برای تولید داده‌ها برای دوره زمانی ۲۰۱۷ تا ۲۰۴۷ به صورت زیر می‌باشد:

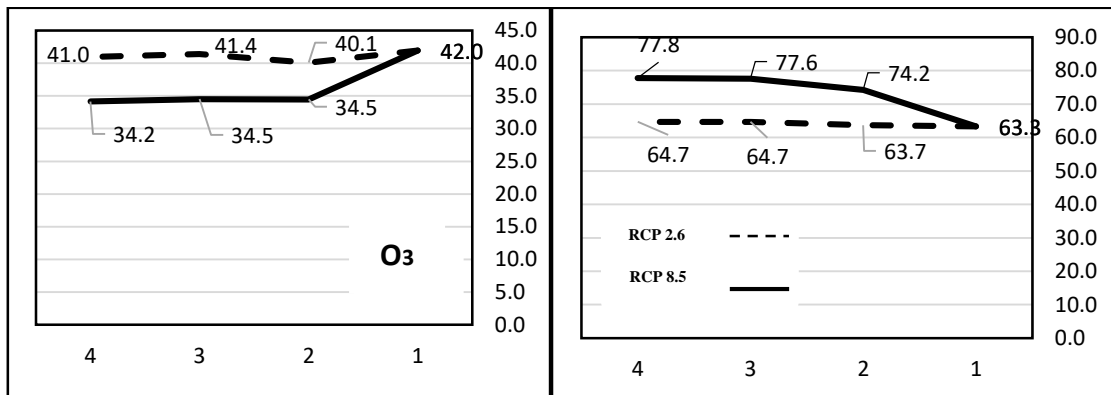
$$Y = 35.16 + 0.304_{\text{mindama}} + 0.06_{\text{maxdama}} \quad (\text{رابطه } ۲)$$

با توجه به این معادله رگرسیونی و تولید داده‌ها به صورت ماهانه تا سال ۲۰۴۷ به بررسی سناریوهای خوش بینانه  $\text{RCP} 8.5$  و بدینانه  $\text{RCP} 2.6$  پرداخته شد. همانطور که در شکل دهه‌ای این پارامتر (شکل ۸) مشاهده می‌شود، در سناریوی  $\text{RCP} 8.5$  روند این شاخص در ارتباط با حداقل و حداکثر دما دارای سیر آرام کاهشی بوده و از نمود واضحی هم برخوردار نیست. در حالی که در سناریوی بدینانه یعنی  $\text{RCP} 2.6$  این روند بدون تغییر را در سال‌های آتی نشان داده است.

**شاخص ۱۰ PM10:** با توجه به ارتباط و همبستگی شاخص  $\text{PM10}$  با متوسط حداقل و حداکثر دمای هوا و ضرایب رگرسیونی محاسبه شده در جدول (۴-۳۳)، معادله رگرسیونی زیر برای تولید داده‌ها برای دوره زمانی ۲۰۱۷ تا ۲۰۴۷ بدست آمد:

$$Y = 59.92 + 0.51_{\text{mindama}} - 0.168_{\text{maxdama}} \quad (\text{رابطه } ۳)$$

با معادله رگرسیونی بدست آمده و تولیده داده‌ها به صورت ماهانه تا سال ۲۰۴۷، مشخص شد که در سناریوی بدینانه  $\text{RCP} 8.5$  روند این شاخص در ارتباط با حداقل و حداکثر دما دارای سیر کاهشی در دهه اول و سپس روند ثابت در دهه‌های بعد را نشان داده است ولی در سناریوی خوبینانه یعنی  $\text{RCP} 2.6$  نیز شکل خطی و روند کلی شاخص تقریباً بدون تغییر و سیر بدون نوسان خاصی را برای سالیان بعد نشان داده است (شکل ۸).



شکل ۸ - روند دهه‌ای شاخص ۱۰ PM و O3 در سناریوی RCP 2.6 و RCP 8.5 در دوره ۲۰۰۷-۲۰۴۷

#### ۴- جمع‌بندی

تحلیل سناریویی داده‌های هواشناسی کلان‌شهر تهران با ریز مقیاس نمایی داده‌های مدل HADCM3 و روش آماری SDSM روی داده‌های روزانه حداقل دما، حداکثر دما و مجموع روزانه بارندگی در ایستگاه‌های منتخب یعنی فرودگاه مهرآباد، شمیران و ژئوفیزیک تحت دو سناریوی خوشبینانه و بدینانه 2.6 و RCP 8.5 انجام شد. در ادامه با کمک پیش‌بینی‌های سناریویی انجام شده از متغیرهای هواشناسی به تحلیل سناریویی آلاینده‌های هوای تهران به روش‌های همبستگی و رگرسیونی پرداخته شد. نتایج بدست آمده نشان می‌دهد اولاً روند دمای هوای (حداقل دما و حداکثر دما) در سالیان آینده روند افزایشی (بطئی و نسبی) داشته و نشان از گرمتر شدن کلی هوای تهران در هر دو سناریوی RCP 2.6 و RCP 8.5 می‌دهد و در مورد بارندگی نیز با توجه به سیر نزولی مقدار بارندگی در سناریوهای فوق، تهران افزایش خشکی هوای کاهش نزولات جوی در سال‌های آینده را تجربه خواهد کرد. ثانیاً از بین همه شاخص‌های آلودگی هوای شاخص‌های CO<sub>2</sub>, O<sub>3</sub>, PM10, با عناصر آب و هوایی ارتباط معناداری داشته و نتایج بررسی این موضوع نیز نشان داده که تنها شاخص CO<sub>2</sub> در هر دو سناریو بهویژه سناریوی RCP 8.5 در سال‌های آتی روند افزایشی خواهد داشت و در شاخص‌های O<sub>3</sub> و PM10 نیز مقدار آنها در سناریوهای خوشبینانه و بدینانه تغییرات محسوس افزایشی یا کاهشی نشان نداده است.

درنهایت بررسی روند آلودگی هوای تهران و تناسب آن با عناصر آب و هوایی با استفاده از مدل SDSM و تحت دو سناریوی خوشبینانه و بدینانه RCP2.6 و RCP8.5 نشان داد که روند دمای هوای (حداقل دما و حداکثر ماه) در سالیان آینده روند افزایشی (بطئی یا نسبی) داشته و این امر نشان از گرمتر شدن کلی هوای تهران در هر دو سناریوی RCP 2.6 و RCP 8.5 در سال‌های آتی می‌هد. در مورد بارندگی نیز با توجه به سیر نزولی مقدار بارندگی در سناریوهای فوق، میزان افزایش خشکی هوای کاهش نزولات جوی در سال‌های آینده محتمل خواهد بود. تحلیل سناریویی آلاینده‌های هوای تهران نیز نشان داده که تنها برخی از آلاینده‌های هوای (یعنی شاخص‌های CO<sub>2</sub>, O<sub>3</sub>)

(PM10) با متغیرهای هواشناسی (حداقل و حداکثر دمای روزانه) ارتباط معناداری داشته که بررسی رگرسیونی و پیش بینی سناریویی این شاخص‌ها نشان داده که شاخص CO<sub>2</sub> در هر دو سناریو بهویژه سناریوی RCP 2.6 در سال‌های آتی روند افزایشی خواهد داشت ولی در شاخص‌های O<sub>3</sub> و PM10، مقدار آنها در سناریوهای خوشبینانه و بدینانه تغییرات محسوس افزایشی یا کاهشی را در سال‌های بعد نشان نداده است.

بنابراین با توجه به رخداد علائم تغییر شرایط آب و هوایی بهویژه تغییرات مثبت دمایی در کلان‌شهر تهران و ارتباط مثبت تغییر شرایط آب و هوایی بهویژه پارامترهای دمایی با شاخص‌های آلودگی هوا درنتیجه پیش‌بینی‌های سناریویی باید گفت، آلاینده‌های هوای تهران، در سالیان آینده تغییر افزایشی یا ثابتی خواهد داشت و باید موضوع تغییر آب و هوای آلودگی هوای تهران و تبعات زیست‌محیطی، اجتماعی، اقتصادی و سیاسی آن را به عنوان یک موضوع مهم و حیاتی برای زندگی شهر و ندان تهران در برنامه‌ریزی‌های کلان‌شهر تهران به عنوان پایتخت ایران در نظر گرفت.

### کتابخانه

- اسماعیل نژاد، مرتضی؛ اسکندری ثانی، محمد؛ بارزمان، سپیده؛ ۱۳۹۴. ارزیابی و پنهان‌بندی آلودگی هوای کلان‌شهر تبریز. *فصلنامه برنامه‌ریزی منطقه‌ای*. دوره. شماره ۱۹. ص ۱۷۳.
- اعطاف، سمیه سادات؛ ۱۳۹۵. بررسی تغییرات زمانی و مکانی بارش سالانه کشور بر اساس مدل گردش عمومی جو و SDSM پایان‌نامه کارشناسی ارشد. مهندسی کشاورزی. دانشکده کشاورزی و منابع طبیعی. دانشگاه ملایر. ص ۸
- اکبری، الهه؛ فاخری، معصومه؛ پورغلام‌حسن، غفت؛ اکبری، زهراء؛ ۱۳۹۴. پنهان‌بندی ماهانه میزان آلودگی هوا و بررسی نحوه ارتباط آن با عوامل اقلیمی (مطالعه موردی: شهر مشهد). *محیط زیست طبیعی (منابع طبیعی ایران)*. شماره ۶۸. دوره ۵۳۳. ص ۵۳۳.
- جاوید، معصومه؛ ۱۳۹۱. توزیع مکانی و تغییرات فصلی نشست آلاینده‌های هوای در ایستگاه‌های هواشناسی انتخابی استان تهران. پایان‌نامه کارشناسی ارشد مهندسی کشاورزی. دانشکده کشاورزی و منابع طبیعی. دانشگاه تربیت مدرس.
- جوان‌بخت امیری، ستاره؛ خاتمی، سید‌هادی؛ ۱۳۹۱. بررسی ارتباط بین آلاینده‌های شاخص کیفیت هوای پارامترهای هواشناسی در تهران با رویکرد آنالیز رگرسیون. *فصلنامه انسان و محیط‌زیست*. شماره ۲۰. ص ۲۰.
- رنجبر، فریبرز؛ ۱۳۹۵. شبیه‌سازی روند شاخص‌های حرارتی دما و بارش ایران. پایان‌نامه دوره دکتری آب و هواشناسی. دانشکده جغرافیا. دانشگاه تهران. ص ۱۱.
- روشن، غلامرضا؛ خوش اخلاق، فرامرز؛ نگهبانی، سعید؛ میرکتولی، جعفر؛ ۱۳۸۸. تأثیر آلودگی هوای بر نوسانات اقلیمی شهر تهران. *علوم محیطی*. دوره ۷. شماره ۱. ص ۱۷۳.
- زبردست، اسفندیار؛ ریاضی، حسین؛ ۱۳۹۴. شاخص‌های محیط انسان ساخت و تأثیرات آن بر آلودگی هوای (مطالعه موردی: محدوده پیرامونی چهارده ایستگاه سنجش کیفیت هوای در شهر تهران). *هنرهای زیبا-معماری و شهرسازی*. دوره ۲۰. شماره ۱. ص ۵۵.

شهرداری تهران؛ ۱۳۸۹. اطلس کلان شهر تهران (<http://atlas.tehran.ir/>) عیسی لو، علی اصغر؛ شاهمرادی، بهزاد؛ بهرامی، سیروان؛ سادات آقامیری، معصومه؛ ۱۳۹۰. آسیب‌پذیری فضایی و بحران آلودگی هوا در کلان شهر تهران. تهران: سومین همایش ملی عمران شهری. ص ۱۲۶.

کاویانی، محمد رضا؛ ۱۳۹۱. میکروکلیماتولوژی. تهران: انتشارات سمت. ص ۱۲۲.

منتظری، مریم؛ فهمی، هدایت؛ ۱۳۸۲. اثرات تغییر آب و هوای منابع آب کشور. تهران: مجموعه مقالات سومین کنفرانس منطقه‌ای تغییر آب و هوای. ص ۲۸.

نوروزی، اصغر؛ محمدی؛ ۱۳۹۳. پنهان‌بندی آلودگی هوای شهر اصفهان با استفاده از نرم افزار GIS و شاخص کیفیت هوای (AQI). اولین همایش ملی محیط‌زیست. دانشگاه پیام نور واحد دهاقان. ص ۷۹.

- Allen, M.R., 2004. Observational Constraints on Future Climate, Robust from model dependent statement of uncertainty in climate forecasting, Contribution to the IPCC workshop on communicating uncertainty and risk: 6.
- Daniel J. Jacob a, Darrell A. Winner., 2009. Effect of climate change on air quality, Atmospheric Environment, vol 43:51.
- Edwards, J.M. and Slingo A., 1996. Studies with a flexible new radiation code 1: Choosing a configuration for a large-scale model. Q.J.R. Met. Soc., 122: 689-719.
- Fenger,J.,2002,\_Urban air quality 'Developments in Environmental Science,Vol 1:8.
- Gemmer,M., ischer,T., 2014. Statistical downscaling and future scenario generation of temperatures for Pakistan Region. Theor Appl Climatol. DOI 10.1007/s00704-014-1176-1.
- Kabiri, R., Ramani Bai, V., Chan, A., 2015. Assessment of hydrologic impacts of climate change on the runoff trend in Klang Watershed. Environmental Earth Science Journal, Vol 73:27.
- Kazemi, D.H., Jianping Li, J., Rasul, G., Jiang Tong, J. Ali, G., CheemaS.B., Luliu Liu,L., Park, D.H., Han, K.B., and Kang, I.J., 2012. The Visualization by Analyzing the Relationship between the Air Pollutants and Climatic Factors using GIS.Proceedings of International conference on disaster management.<http://iirr.ucalgary.ca/>.Kumamoto.Japan.August- 2017 - 26.
- Peel.J. L., Haeuber, R. Garcia, V. Russel, A. G. Neas, L., 2012. Impact of nitrogen and climate change interactions on ambient air pollution and human health,\_Biogeochemistry.Open access at pringerlink.com.DOI 10.1007/s10533-012-9782-4.
- Zamani Nuri,A.Farzaneh,M.Espanayi,K., 2014. Assessment of climatic parameters uncertainty under effect of different downscaling techniques. International Research Journal of Applied and Basic Sciences. Vol 8. No 9:1316.
- Zulkarnain,H., Shamsudin,S. Sobri, H., 2014. Application of SDSM and LARS-WG for simulating and downscaling of rainfall and temperature, Theor. Appl. Climatol.Vol 116:243.